

## تحلیل پایداری شب با استفاده از مدل فرآیندی SINMAP (مطالعه موردی: پهنه لغزشی هاونان، بیرجند)

سید محمد تاجبخش<sup>۱</sup>- استادیار آبخیزداری، دانشگاه بیرجند، بیرجند، ایران

هادی عماریان- استادیار آبخیزداری، دانشگاه بیرجند، بیرجند، ایران

مجید آسیابی- کارشناس ارشد آبخیزداری، دانشگاه بیرجند، بیرجند، ایران

تاریخ دریافت: ۱۳۹۲/۷/۸ تاریخ تصویب: ۱۳۹۳/۵/۲۹

### چکیده

روستای هاونان در ۱۵ کیلومتری جنوب غرب بیرجند و در دامنه شمالی رشته کوه باقران واقع شده و تاریخ اولین حرکت اصلی لغزش در منطقه در سال ۱۳۶۴ و تاریخ آخرین حرکت اصلی در سال ۱۳۸۵ است. در این مقاله پهنه‌بندی حساسیت به لغزش و تحلیل پارامترهای فیزیکی- هیدرولوژیکی و تکتونیکی به منظور شناسایی بیشتر وضعیت شکل‌گیری توده‌های لغزشی منطقه و تحلیل پایداری دامنه‌ها به کمک مدل فرآیندی SINMAP انجام شده است. این مدل نشان می‌دهد بخش اندکی از پهنه لغزشی هاونان در محدوده رطوبتی اشیاع قرار می‌گیرد و کمتر از ۳۰ درصد آن دارای حساسیت متوسط تا بالا به لغزش است؛ لذا بایستی در این محدوده به دنبال علل خارجی تأثیرگذار در پدیداری لغزش بود. محدوده هاونان متأثر از سه سری گسل اصلی با روندهای مختلف می‌باشد و در اثر تقاطع این سه سری گسل، واحدهای سنگی (اسپلیت‌ها، پریلوتیت‌ها و گابروها) به صورت بلوك‌های گسلی کشیده درآمده و در اثر ادامه فرآیند برش، این بلوك‌ها متحمل تغییر شکل، جایگانی و چرخش شده‌اند. ترکیب سنگ‌شناصی (قرارگیری اسپلیت بر روی سریانتینیت) و وجود دو سری شکستگی به موازات گسل‌های هاونان و مزار مهم‌ترین عوامل ناپایداری هستند. علاوه بر این برخاستگی رشته کوه باقران باعث افزایش تدریجی نشیب دامنه و رخداد زمین‌لرزه‌ای ادواری نیز موجب تشدید لغزش می‌گردد.

**کلیدواژه‌ها:** زمین‌لغزش، پایداری شب، پهنه‌بندی، SINMAP، تکتونیک.

### ۱. مقدمه

در سال‌های اخیر بررسی‌های گستره‌ای در خصوص علل و عوامل مؤثر بر زمین‌لغزش‌ها، مدل‌سازی و پهنه‌بندی خطر زمین‌لغزش در داخل و خارج از کشور صورت گرفته است. عوامل متعددی مانند شرایط توپوگرافی،

آب و هوا و هوازدگی بر پایداری یک شب تأثیر گذاشته و می‌توانند باعث ایجاد لغزش شوند (سوترز و فن وستن<sup>۱</sup>، ۱۹۹۴، چانو و همکاران<sup>۲</sup>، ۲۰۰۴، پیرت و همکاران<sup>۳</sup>، ۲۰۰۵، گارفی و همکاران<sup>۴</sup>، ۲۰۰۷). راهبرد مطالعه زمین‌لغزش شامل شناخت فرآیند، تجزیه و تحلیل خطر و پیش‌بینی خطر زمین‌لغزش در آینده برای کاهش پیشرفت و خسارات ناشی از آن است (طلایی و ایزد دوست، ۱۳۹۰: ۶۳). امروزه برای پیش‌بینی زمین‌لغزش‌ها از روش‌های مختلفی از جمله روش‌های آماری، روش‌های توصیفی و روش‌های فرآیند محور استفاده می‌شود که در ایران بیشتر مطالعات صورت گرفته بر اساس روش‌های آماری و توصیفی است (همان)، به عنوان مثال احمدی و محمدخان (۲۰۰۲) با استفاده از روش توصیفی در بررسی حرکت‌های توده‌ای در حوزه آبخیز طالقان دریافتند که گسل و رو راندگی‌ها جهت دامنه‌ها را تحت تأثیر قرار داده است؛ به طوری که سولیفلکسیون‌ها به جای دامنه شمالی در دامنه‌های جنوبی اتفاق می‌افتد. معماریان و همکاران (۲۰۰۳) در بررسی زمین‌لغزش روستای اسطرخی واقع در خراسان شمالی، با استفاده از نمایه آماری استقرار روستا بر روی سازند زمین‌شناسی حساس، شبی ناپایدار و تغییر کاربری را عوامل اصلی دانسته‌اند.

ژو و همکاران<sup>۵</sup> (۲۰۰۲) رابطه مکانی و عوامل مؤثر بر آن‌ها را جهت دستیابی به الگوی مکانی زمین‌لغزش‌ها و عوامل مؤثر در جزیره لاتوآ بررسی کردند و نتیجه گرفتند که بیشتر لغزش‌ها در شبیه‌های ۴۰-۲۵ درجه اراضی مرتعی لخت و مناطق نزدیک به گسل‌های جزیره رخ داده‌اند. آوانزی و همکاران<sup>۶</sup> (۲۰۰۴) طی بررسی تأثیر عوامل زمین‌شناسی بر وقوع لغزش‌های کم‌عمق منطقه کوهستانی آپونا واقع در شمال غربی توسکانی ایتالیا بیان نمودند که سنگ‌شناسی بستر و نفوذ ناپذیری، عوامل مهمی در وقوع زمین‌لغزش‌ها بوده‌اند. کواستا و همکاران<sup>۷</sup> (۲۰۰۷) در بررسی حساسیت به وقوع زمین‌لغزش در حوزه رودخانه نالون در کوه‌های سانتا بریان آمریکا اعلام کردند که بیشتر ناپایداری‌ها مربوط به شبیه‌ای با جهت جنوب غربی- شمال شرقی و درجه شبی ۱۶ تا ۳۰ می‌باشد. راوی<sup>۸</sup> و همکاران (۲۰۱۲: ۱۹۸) عدم پایداری شبی را عامل اصلی لغزش در منطقه جامو و کشمیر هند بیان نموده‌اند.

مدل‌های پهنه‌بندی آماری بیشتر مبتنی بر تراکم زمین‌لغزش‌ها در واحد سطح بوده و جهت به دست آوردن نتایجی صحیح‌تر از آن‌ها بايستی لایه‌های محاسباتی بیشتری را در مدل وارد نمود؛ اما مدل‌های دترمینیستیک یا قطعی مانند SINMAP بر پایه محاسبات عددی بوده و پارامترهای فیزیکی نسبتاً دقیقی را در مدل دخیل می‌کنند (معماریان و صفردری، ۱۳۸۸: ۱۱). یکی از ویژگی‌های بارز مدل نرم‌افزاری SINMAP این است که محاسبات بر پایه یک شبکه

1 Soeters and van Westen

2 Chau et al.

3 Peart et al.

4 Garfi et al.

5 Zhou et al.

6 Avanzi et al.

7 Cuesta et al.

8 Ravi et al.

سلولی انجام می‌گیرد. در واقع این مدل تلفیقی است از یک مدل هیدرولوژیکی و یک مدل فیزیکی پایداری شیب که نتایج آن زمانی که در ارتباط و مقایسه با سایر مدل‌های مشابه جهت محاسبه شاخص پایداری قرار می‌گیرد، می‌تواند نتایج مفیدی جهت استفاده محققین در برداشته باشد. ولی آنچه این مدل را متمایز می‌کند این است که در SINMAP نیازی به تعریف عددی دقیق پارامترهای اقلیم و خاک نیست، بلکه می‌توان دامنه‌ای از ارزش‌ها را برای این پارامترها در نظر گرفت؛ یعنی همان مفهوم عدم قطعیت که به صورت طبقات نسبی خطر زمین‌لغزش ارائه می‌شود (معماریان و صدری، ۱۳۸۸: ۱۳).

آچاریا<sup>۱</sup> (۲۰۰۳) در منطقه‌ای در هیمالیا تحلیل پایداری شیب را با مدل‌های ریاضی بررسی نموده و درنهایت آن را با مدل SINMAP مقایسه کرده و همبستگی حدود ۹۸ درصدی در نزدیکی نتایج به دست‌آمده است. ویور و نووسین<sup>۲</sup> (۲۰۰۳) با استفاده از مدل SINMAP به بررسی زمین‌لغزش‌ها در منطقه مرتفع فلات لسی در شرق لهستان پرداختند. نتایج نشان داد که در این مدل می‌توان با مقادیر عددی تخمینی و تعریف محدوده‌ای از ارزش‌ها برای پارامترهای واسنجی به نتایج نسبتاً قابل قبولی رسید. دب و الکادی (۲۰۰۹) در بررسی ۲۲۶ نقطه لغزشی با استفاده از مدل SINMAP در هواپی، کارآئی مدل را در بررسی مناطق خطر زمین‌لغزش تأیید نمودند ولی بر این نکته تأکید داشتند که نتایج به دست‌آمده بایستی با بررسی‌های ژئوتکنیکی تکمیل گردد. ترهورست و کرجا (۲۰۰۹) توانستند مدل SINMAP را با موفقیت جهت پهنه‌بندی خطر زمین‌لغزش در منطقه‌ای مسکونی در کشور آلمان بکار بگیرند. طالبی و ایزد دوست (۱۳۹۰: ۶۳) از مدل SINMAP در تهیه نقشه پهنه‌بندی خطر زمین‌لغزش حوزه سد ایلام استفاده نموده و نتایج نشان از دقت بالای مدل در پیش‌بینی محدوده خطرساز بوده است. معماریان و همکاران (۲۰۱۲) در بررسی تحلیل پایداری شیب در حوزه لانگات مالزی از مدل SINMAP استفاده نموده و لایه‌های شاخص پایداری و شاخص اشباع خاک را به عنوان دو متغیر تأثیرگذار بر شیوه‌سازی کاربری اراضی وارد مدل مارکوف کردند.

هدف از این مطالعه پهنه‌بندی حساسیت به لغزش و تحلیل پارامترهای فیزیکی، تکتونیکی و مورفوژئوگرافیکی به منظور شناسایی بیشتر وضعیت شکل‌گیری توده‌های لغزشی منطقه و تحلیل پایداری دامنه‌ها به کمک مدل فرآیندی SINMAP می‌باشد.

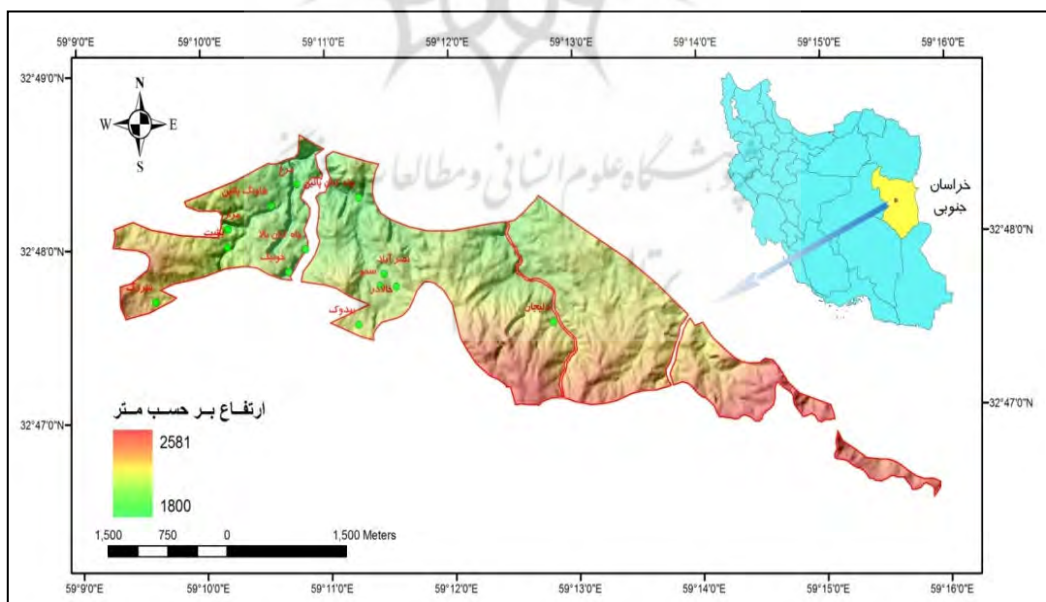
## ۲. منطقه مورد مطالعه

منطقه مورد نظر (روستای هاونان) در ۱۵ کیلومتری جنوب غرب بیرجند و در دامنه شمالی رشته‌کوه باقران با مختصات جغرافیایی "12° 59' طول شرقی و "32° 48' عرض شمالی در ارتفاع ۱۰۰۰ متری از سطح دریا واقع شده است. آب و هوای منطقه گرم و خشک است. گرم‌ترین ماه سال تیر و سردترین ماه سال دی است. میانگین بارندگی ۴۰ ساله منطقه ۱۷۷ میلی‌متر است. سال ۱۳۶۱ با ۲۴۱ میلی‌متر بارش پرباران‌ترین سال و حداقل بارندگی در

<sup>1</sup> Acharia

<sup>2</sup> Waver and Nowocien

سال ۱۳۸۳ با ۵۶ میلی متر بوده است. میانگین درجه حرارت سالیانه منطقه ۱۶/۵ درجه سانتی گراد است. خاک‌های تشکیل شده در این منطقه عمدتاً خاک‌های نسبتاً حاصلخیز با ضخامت اندک حاصل از آلتراسیون واحدهای سنگی است که به صورت برجا بر روی سنگ مادر و دامنه نهشته شده‌اند. پوشش گیاهی منطقه بیشتر مرتعی (درمنه زار) و با وضعیت فقیر و گرایش منفی است. واحدهای سنگی در این منطقه شامل پریدوتیت‌ها و اسپیلیت‌ها می‌باشد. مورفلوژی‌های پست در این منطقه متعلق به واحد پریدوتیتی است. اسپیلیت‌ها در مجموع خشن‌ترین لیتوژئی شمال منطقه را تشکیل می‌دهند. جهت آبراهه‌ها در واحدهای اسپیلیت و مجموعه کالرملاتزهای افیولیتی از شکستگی‌های منطقه پیروی می‌کنند. فرسایش فیلیت‌ها موجب ایجاد طرح آبراهه شاخه دندریتی شده است؛ اما حتی این طرح آبراهه نیز گاهی تحت تأثیر گسل‌های اصلی قرار گرفته است. طرح آبراهه در واحد اسپیلیت راست‌گوش است. همچنین رخساره منطقه، رخمنون سنگی بالای ۷۵ درصد می‌باشد (مهندسین مشاور سامان سدروود، ۱۳۸۹). تاریخ اولین حرکت اصلی لغزش در منطقه در سال ۱۳۶۴ و تاریخ آخرین حرکت اصلی در سال ۱۳۸۵ می‌باشد. خسارت وارد ناشی از لغزش شامل تخریب ۳۵ واحد مسکونی روستابی، ۵ هکتار زمین کشاورزی و یک مورد قنات می‌باشد که مجموعاً ۴۷۰۰ میلیون ریال بر اساس برآورد سال ۱۳۸۹ بوده است (مهندسين مشاور سامان سدروود، ۱۳۸۹). دامنه لغزشی مذکور غیر یکنواخت و موج بوده، طول گسیختگی ۱۵۰۰ متر، عرض گسیختگی ۵۰۰ متر، اختلاف ارتفاع بین تاج و پنجه سطح گسیختگی ۳۵۰ متر، ارتفاع پرتگاه اصلی ۲۰ متر و مقدار حرکت بیش از ۱۰ متر می‌باشد. سرعت حرکت دامنه کند و وضعیت فعالیت آن معلق است (مهندسين مشاور سامان سدروود، ۱۳۸۹).



شکل ۱ موقعیت منطقه مطالعاتی

### ۳. مواد و روش‌ها

در تهیه مدل رقومی ارتفاع از الگوریتم Topo to Raster نرم افزار ArcGIS استفاده شد. این روش که بر اساس برنامه ANUDEM بوده و توسط هاچیسون (۱۹۸۹ و ۱۹۸۸) توسعه داده شده، منجر به تهیه مدل رقومی ارتفاعی (DEM) می‌شود که حداقل خطاهای را به لحاظ هیدرولوژیک داراست. جهت تعیین اندازه تفکیک بهینه مدل رقومی ارتفاع از سه روش مختلف مقیاس کاری<sup>۱</sup>، اندازه شیء مرجع<sup>۲</sup> و پیچیدگی زمین<sup>۳</sup> (هنگل<sup>۴</sup>، ۲۰۰۶) استفاده شد و درنهایت اندازه سلول به دست آمده با روش مقیاس کاری (۱۰ متر) به عنوان اندازه سلول بهینه در این مطالعه مورد استفاده قرار گرفت.

فرآیند پهنه‌بندی خطر زمین‌لغزش بر روی اجزای واحد اراضی ۱-۸-۱ انجام گرفت. این اراضی شامل کوه‌های مرتفع با قلل تیز و پستی و بلندی زیاد و متشکل از فیلیت، شیست، همراه با سنگ‌های اسپیلیتی و رخنمون سنگی زیاد و شیب ۴۰-۵۰ درصد است. سطح این اراضی عموماً لخت، بدون پوشش خاکی و یا دارای خاک کم عمق غیر یکنواخت سنگریزه دار می‌باشد. نتایج پروفیل و آزمایش‌های خاک‌شناسی نشان‌دهنده وجود خاکی با بافت متوسط لومی تا لومی شنی و ساختمان دانه‌ای و عمق کم (۵۰ سانتیمتر) در این پهنه مطالعاتی است. میزان کرین آلی<sup>۵</sup>، میزان هدایت الکتریکی عصاره گل اشباع ۰/۵۶ دسی زیمنس بر متر و میزان اسیدیته آن ۷/۸ برآورد شده است. این خاک در حالت خشک سخت، در حالت مرطوب ترد و در حالت خیس چسبنده و کمی شکل‌پذیر (Sticky Plastic) است.

#### ۱. تئوری پایداری شیب

SINMAP بر اساس مدل عددی نامحدود پایداری شیب پایه‌گذاری شده (هموند و همکاران<sup>۶</sup>، ۱۹۹۲؛ مونتگومری و دیتریچ<sup>۷</sup>، ۱۹۹۴) که این مدل مؤلفه‌های ناپایدارکننده (نیروی تقل) و پایدارکننده (نیروی اصطکاک و چسبندگی خاک) شیب را بر روی یک سطح شکست بهموزات سطح زمین و البته با چشم‌پوشی از اثر مرزی موازن کرده و شیوه‌سازی می‌نماید. SINMAP با استفاده از داده‌های ورودی یعنی شیب، سطح ویژه حوضه آبریز، ویژگی‌های خاک (استحکام) و خصوصیات اقلیمی (رطوبت هیدرولوژیک) عمل طبقه‌بندی زمین را بر اساس میزان پایداری انجام می‌دهد. هر یک از این پارامترها بر روی یک شبکه سلولی بیان می‌گردند تا قابل استفاده در محاسبات عددی نرم افزار باشند. متغیرهای وابسته به توپوگرافی به صورت خودکار از مدل رقومی ارتفاع استخراج می‌شوند. سایر متغیرهای ورودی دارای یک نوع عدم قطعیت می‌باشند؛ بنابراین به صورت حدود بالا و پایین یا دامنه‌ای در نرم افزار تعریف می‌شوند. با فرض یکنواخت

1 Working Scale

2 Size of Reference Object

3 Complexity of Terrain

4 Hengl

5 Hammond et al.

6 Montgomery and Dietrich

بودن توزیع پارامترها در دامنه عددی تعریف شده از جانب کاربر، نمایه پایداری یا SI به صورت یک احتمال تعریف می شود که نشان دهنده پایداری مکان یا پیکسل مورد مطالعه است. این دامنه عددی بین صفر و یک متغیر است که عدد صفر نشان دهنده حداکثر ناپایداری و عدد یک نشان دهنده حداقل ناپایداری است. جایی که ناپایدارکننده‌ترین مجموعه از پارامترهای مدل هنوز قادر به ناپایدار کردن شبیب نیستند، ارزش عددی شاخص پایداری بیشتر از یک خواهد بود و در این حالت این شاخص به عنوان ضریب اینمی یا اطمینان تعریف می شود (معماریان و صدری، ۱۳۸۷). در جدول شماره ۱-۱ کلاس‌های پیش‌فرض مدل جهت طبقه‌بندی شاخص SI نشان داده شده‌اند.

جدول ۱ طبقات پایداری شبیب در مدل SINMAP (معماریان و صدری، ۱۳۸۷)

وضعیت	طبقه	حالت پیش‌بینی شده	دامنه پارامتر	تأثیر ممکن فاکتورهای مدل نشده
$5/SI > 1$	۱	پایدار	در این دامنه عددی مدل قادر به شبیه‌سازی عدم پایداری شبیب نیست	عوامل ناپایدارکننده مهمی جهت ناپایدارسازی شبیب موردنیاز است
$25/5 > SI > 1/1$	۲	نیمه پایدار		عوامل ناپایدارکننده متوسطی به لحاظ اهمیت جهت ناپایدارسازی شبیب موردنیاز است
$0/25 > SI > 1/1$	۳	شبیه‌پایدار		عوامل ناپایدارکننده ناچیز هم می‌توانند منجر به ناپایداری شبیب شوند
$5/0 > SI > 0/1$	۴	آستانه پایینی پایداری	برای ناپایدارسازی شبیب باستی از نیمه خالی یا بدینانه دامنه عددی ارزش‌های ورودی کمک گرفت	عامل ناپایدارکننده‌ای برای ناپایدارسازی شبیب موردنیاز نیست
$0/5 > SI > 0/0$	۵	آستانه بالای پایداری	برای پایدارسازی شبیب باستی از نیمه پر یا خوش‌بینانه دامنه عددی ارزش‌های ورودی کمک گرفت	عوامل پایدارکننده شاید به پایداری شبیب کمک کنند
$0 > SI/0$	۶	حفاظتی	در این دامنه عددی مدل قادر به شبیه‌سازی پایداری شبیب نیست	برای پایداری شبیب حتماً باستی از عوامل پایدارکننده استفاده کرد

## ۱.۲. مدل عددی پایداری شبیب

این روش به مدل سازی ضریب اطمینان (هاموند و همکاران، ۱۹۹۲) پرداخته که این ضریب به صورت نسبت نیروهای پایدارساز به نیروهای ناپایدارکننده شبیب تعریف می شود:

$$FS = \frac{C_r + C_s + \cos^2 \theta [\rho_s g (D - D_w) + (\rho_s g - \rho_w g) D_w] \tan \phi}{D \rho_s g \sin \theta \cos \theta} \quad (1)$$

که در این معادله  $C_r$  چسبندگی حاصل از ریشه گیاهان  $[N/m^2]$ ,  $C_s$  چسبندگی خاک  $[N/m^2]$ ,  $\theta$  زاویه شبیب،  $\rho_s$  وزن مخصوص خاک مرطوب  $[Kg/m^3]$ ,  $\rho_w$  وزن مخصوص آب  $[Kg/m^3]$ ,  $g$  شتاب جاذبه زمین

$(9/81 m/s^2)$  عمق خاک در حالت عمودی  $D_w [m]$  ارتفاع عمودی سطح آب درون خاک  $[m]$  و  $\theta$  زاویه اصطکاک داخلی خاک می‌باشند. در این معادله  $\theta$  آرکتانزانت شیب ( $S$ ) است.

کوهیشن ترکیبی خاک نیز نسبت به ضخامت خاک یک ضریب بدون بعد را در محاسبات ایجاد می‌نماید:

$$C = (C_r + C_s) / (h \rho_s g) \quad (2)$$

در واقع معادله ۲ بیانگر نسبت نیروی چسبندگی خاک به وزن آن است؛ یا به عبارتی دیگر نشان‌دهنده سهم نسبی نیروهای چسبندگی خاک، در پایداری شیب است (معماریان و صفردری، ۱۳۸۷).

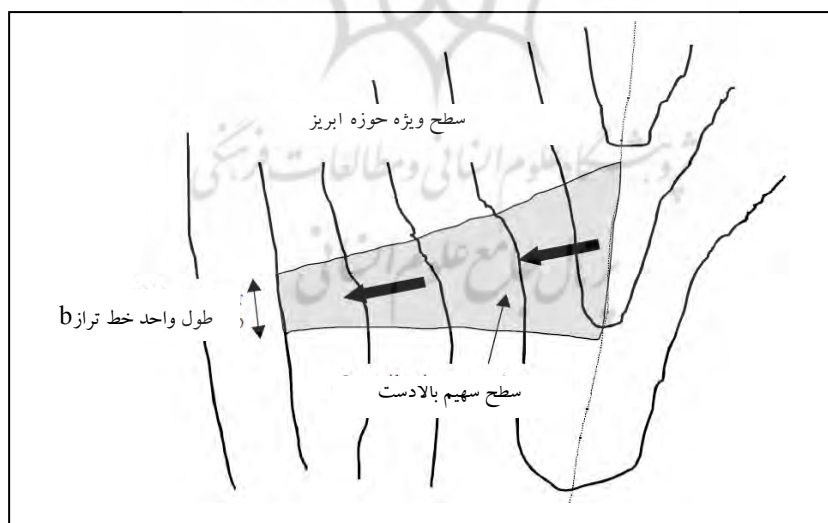
### ۱.۳. شاخص رطوبت توپوگرافیک

در TOPMODEL (بون و کرکبای<sup>۱</sup>، ۱۹۷۹) و سایر مدل‌های هیدرولوژیک جهت تخمین شاخص رطوبت بر اساس توپوگرافی، مفروضات مدل به شرح زیر است:

۱- حرکت جریان کم عمق آب زیرسطحی درون خاک، تابعی از شیب توپوگرافیک دامنه است. در واقع این نکته مؤید این است که سطح بالادست سهیم<sup>۲</sup> در جریان آب در هر نقطه از حوضه (سطح ویژه حوضه آبریز) با توجه به توپوگرافی تعریف می‌گردد (شکل ۱-۴).

۲- دبی جانبی در هر نقطه، در تعادل با تغذیه سفره "R" (به صورت جریان ماندگار) است ( $m/hr$ ).

۳- ظرفیت یا میزان شار جانبی جریان در هر نقطه، برابر با  $T \sin \theta$  است که قابلیت انتقال آب در خاک می‌باشد بر حسب  $m^2/hr$ ؛ یعنی حاصلضرب هدایت هیدرولیکی ( $m/hr$ ) در ضخامت خاک ( $m$ ).



شکل ۲ نمایی شماتیک از سطح ویژه حوزه آبریز

1 Beven and Kirkby

2 Contributing area

حال با در نظر گرفتن فرض ۳، رطوبت نسبی به شکل زیر محاسبه می‌شود:

$$w = \text{Min} \left( \frac{R \cdot a}{T \sin \theta}, 1 \right) \quad (3)$$

حد بالایی رطوبت نسبی در این معادله، ۱ می‌باشد که هرگونه تجاوز از این حد، جریان رواناب را در سطح زمین شکل می‌دهد (معماریان و صفردی، ۱۳۸۷).

### ۱. ۳. شاخص پایداری

با جایگزینی معادلات (رجوع شود به معماریان و صفردی، ۱۳۸۷: ۲۲) شاخص پایداری به صورت زیر قابل تعریف است:

$$FS = \frac{C + \cos \theta [1 - \min \left( \frac{R}{T \sin \theta}, 1 \right) r] \tan \phi}{\sin \theta} \quad (4)$$

پارامترهای  $a$  و  $\theta$  از توپوگرافی به دست می‌آیند اما سایر پارامترها یعنی  $C$ ،  $R/T$  و  $r \cdot \tan \theta$  بایستی تعریف گردند. نسبت وزن مخصوص یعنی  $r$  را با یک عدد ثابت  $/5$  می‌کنیم؛ اما برای سه کمیت دیگر بایستی با تعريف حدود بالا و پایین، عدم قطعیتی برای آنها در نظر بگیریم. این حدود در واقع تعريف کننده توزیع احتمال یکسانی بر روی کمیت‌هایی هستند که فرض مدل بر این است که تغییرات آنها کاملاً تصادفی است. با جایگذاری  $x$  بجای  $r \cdot \tan \theta$  و  $t$  بجای  $R/T$  حدود بالا و پایین پارامترها با توزیع احتمال یکنواخت به شکل زیر تعریف می‌شوند:

$$C \sim U(C_1, C_2) \quad (5)$$

$$x \sim U(x_1, x_2)$$

$$t \sim U(t_1, t_2)$$

کوچکترین ارزش  $C$  و  $t$  یعنی  $C_1$  و  $t_1$  همراه با بزرگترین ارزش  $x$  یعنی  $x_2$  بدترین یا در واقع محافظه کارانه‌ترین سناریو را در پایداری شبیب و با فرض عدم قطعیت پارامترها شکل می‌دهند. مناطقی که تحت این سناریو، دارای  $FS$  بزرگ‌تر از یک هستند، در SINMAP با عنوان "مناطق" قطعاً "پایدار" شناخته می‌شوند. در محدوده‌هایی که ضریب اطمینان حداقل کمتر از یک به دست آمده است، احتمال شکست شبیب وجود دارد. بهترین سناریو زمانی شکل می‌گیرد که  $C_1 = C_2$ ،  $x_1 = x_2$  و  $t_1 = t_2$  باشد (همان: ۲۳).

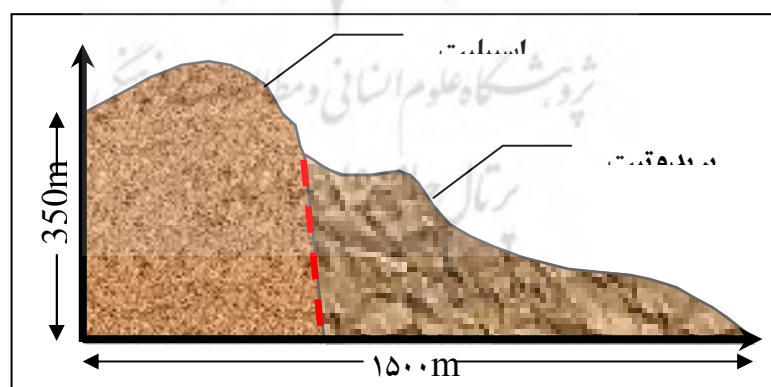
#### ۱. ۴. تعیین پارامترهای واسنجی

در تعیین پارامترهای واسنجی از اطلاعات موجود در گزارش‌های تفصیلی اجرایی (مهندسین مشاور سامان سد رود، ۱۳۸۹ و مهندسین مشاور آب پوی، ۱۳۸۷)، جزوای، کتاب‌ها و منابع موجود (نخجوانی، ۱۳۵۶؛ مورگان و همکاران، ۱۹۹۸؛ معماریان و صدری، ۱۳۸۷) و اطلاعات میدانی بهره گرفته شد. نتایج محاسبات در جدول شماره ۲ آمده است.

جدول ۲ ارزش‌های تعریف شده پارامترهای واسنجی در مدل SINMAP

ارزش	پارامتر
500	T/R <sub>min</sub>
2000	T/R <sub>max</sub>
0	C <sub>min</sub>
0/25	C <sub>max</sub>
30	Ø <sub>min</sub> (Deg)
35	Ø <sub>max</sub> (Deg)

ارزش پارامترهای  $C_s$ ,  $C_r$ ,  $h$ ,  $\rho_s$  و  $\theta$  به ترتیب  $200 \text{ (N.m}^{-2})$ ,  $200 \text{ (N.m}^{-2})$ ,  $(\text{Kg.m}^3/0.45 \text{ (m)})$ ,  $2000$  و  $2000$  تخمین زده شد. کمیت  $(T/R)\sin\theta$  (بر حسب متر) را می‌توان به عنوان طول شیبی (البته به صورت مستوی یا افقی و نه به صورت همگرا) در نظر گرفت که نیاز است در یک دوره بحرانی به لحاظ رطوبت اشیاع گردد. این مفهوم می‌تواند در تخمین پارامتر  $T/R$  با استفاده از مشاهدات صحرایی بسیار مؤثر واقع گردد (معماریان و صدری، ۱۳۸۷). بدین جهت در تعیین نسبت  $T/R$  از مشاهدات میدانی و پروفیل سطح لغزش هاونان (مهندسين مشاور سامان سد رود، ۱۳۸۹) (شکل ۳) کمک گرفته شد.



شکل ۳ مقطع شماتیک از دامنه لغزشی هاونان

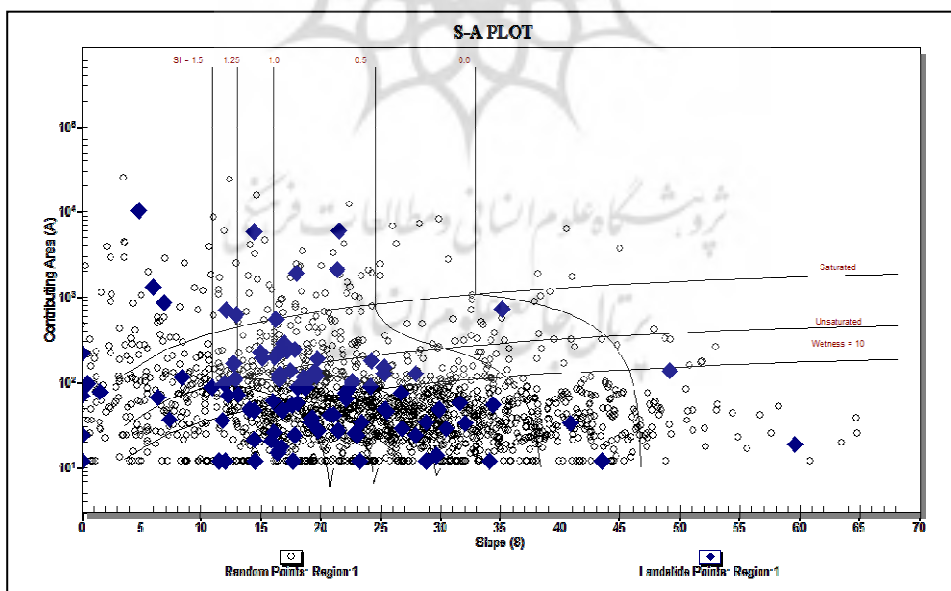
#### ۴. بحث و نتایج

پس از اجرای مدل شاخص پایداری شیب برای کل منطقه مطالعاتی و پهنه لغزشی هاونان به صورت نقشه استخراج و در قالب جدول و نمودار سطح-شیب به صورت آماری ارائه گردید (جدول ۳ و شکل ۴).

## جدول ۳ بررسی آماری نتایج اجرای مدل SINMAP در منطقه هاونان

کل	حفظتی	حد بالایی آستانه لغزشی	حد پایینی آستانه لغزشی	شبه‌پایدار	نیمه‌پایدار	پایدار	
13/14	0/49	1/77	4/08	2/23	1/22	3/36	سطح ( $\text{km}^2$ )
100	3/72	13/47	31/03	16/97	9/25	25/57	فرابوی (%)
100	2	3	24	22	17	32	تعداد نقاط لغزشی
100	2	3	24	22	17	32	فرابوی نقاط لغزشی (%)
7/61	0/15	0/23	1/83	1/67	1/29	2/43	تراکم نقاط لغزشی (تعداد در $\text{km}^2$ )

نتایج جدول ۳ و شکل ۴ و ۵ نشان می‌دهد که حدود ۲۵/۰ درصد منطقه موردبحث در محدوده پایدار قرار می‌گیرد که در واقع عوامل ناپایدارکننده مهمی باستی جهت ناپایدار سازی شیب در این مناطق وجود داشته باشد. ۹/۲ درصد اراضی منطقه با پایداری متوسط می‌باشند و ۱۷ درصد شبه‌پایدار بوده ضمن آنکه در این نواحی عوامل ناپایدارکننده ضعیفی نیز می‌توانند منجر به ناپایداری شیب شوند. حدود ۲۴ درصد اراضی در محدوده پایین تر از حد آستانه لغزشی قرار می‌گیرند که در این مناطق عامل ناپایدارکننده‌ای برای ناپایدار سازی شیب موردنیاز نیست. از طرف دیگر حدود ۳ درصد از سطح منطقه در محدوده بالاتر از حد آستانه لغزش قرار می‌گیرد که عوامل پایدارکننده در این دامنه‌ها شاید به پایداری شیب کمک کنند. همچنین این مدل ۳/۷ درصد اراضی منطقه (حدود ۵۰ هکتار) را حفاظتی ارزیابی نموده که در این دامنه عددی به علت شیب بسیار زیاد شاخص SI کمتر از صفر بوده و در واقع در این دامنه عددی مدل قادر به شیب‌سازی پایداری شیب نیست.



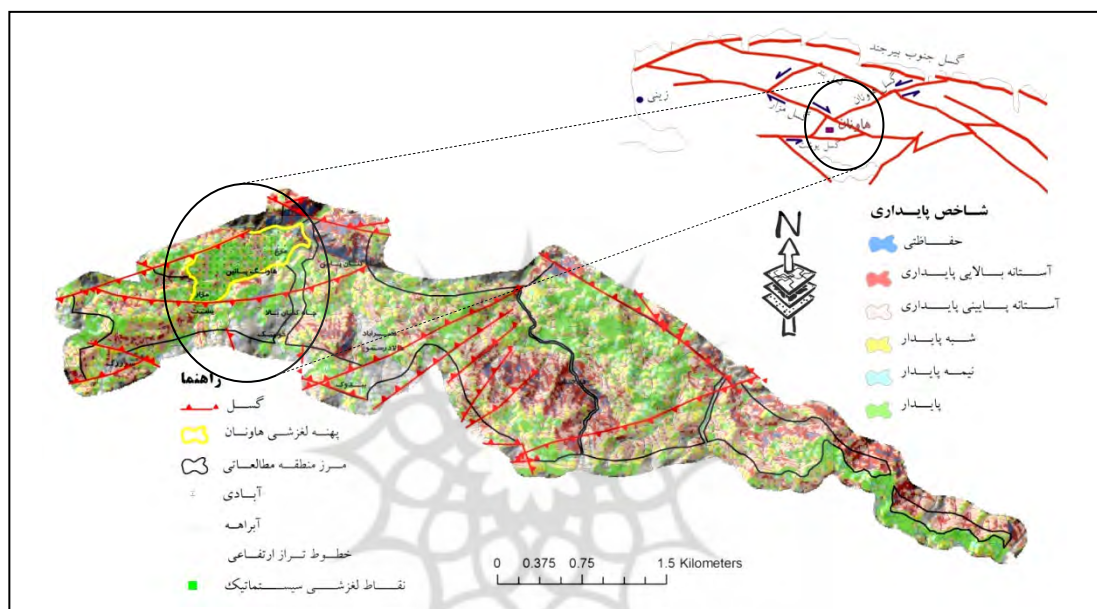
شکل ۴ نمودار شیب-سطح به دست آمده از مدل SINMAP برای محدوده مطالعاتی هاونان

جهت تحلیل دقیق پهنه لغزشی هاونان ۱۰۰ نقطه به صورت سیستماتیک بر روی پهنه لغزیده پیاده شد که این نقاط به عنوان نقاط لغزشی به مدل معرفی گردید (شکل ۵). از مجموع ۱۰۰ نقطه قید شده فوق حدود ۳۲ نقطه در محدوده پایدار، ۱۷ نقطه در محدوده پایداری متوسط، ۲۲ نقطه در محدوده شبیه پایدار، ۲۴ نقطه در محدوده پایین تر از حد آستانه لغزشی و ۳ نقطه در محدودهای بالاتر از حد آستانه لغزشی و ۳ نقطه در محدوده حفاظتی واقع شده‌اند. بر این اساس می‌توان بیان نمود که حدود ۷۱ درصد از سطح پهنه لغزشی هاونان در محدوده شبیه پایدار تا پایدار طبقه‌بندی می‌گردد. ۲۴ درصد از پهنه لغزشی در دامنه پایین تر از حد آستانه لغزشی و تنها ۳ درصد در محدودهای بالاتر از حد آستانه لغزشی قرار می‌گیرند. نتایج این مدل بیانگر آن است که کمتر از ۳۰ درصد پهنه لغزشی هاونان دارای حساسیت متوسط تا بالا به لغزش هستند. از مجموع ۲۴ نقطه واقع در محدوده پایین آستانه لغزشی (SI<1) تنها سه نقطه، یعنی ۱۲/۵ درصد آن در محدوده رطوبتی اشباع و ۱۵ درصد در محدوده رطوبتی بین اشباع و غیر اشباع قرار می‌گیرد (شکل ۴). این نتایج بیانگر این است که بخش اندکی از پهنه لغزشی هاونان در محدوده رطوبتی اشباع قرار می‌گیرد؛ از این رو باید در این محدوده به دنبال علل خارجی تأثیرگذار در پدیداری لغزش هاونان بود. زیرا بررسی صحرایی دامنه‌های این مناطق نیز نشان می‌دهد که علل خارجی در این منطقه سبب شکل‌گیری لغزش شده است.

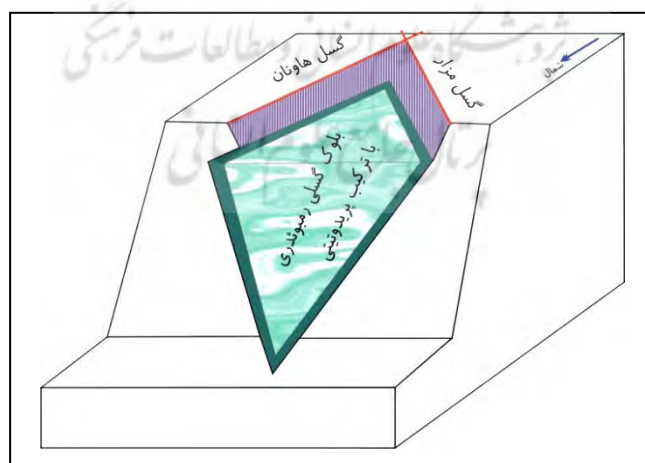
نتایج تحلیل‌های زمین‌شناسی و تکتونیکی منطقه نشان می‌دهد که شکل دگر ریختی در این ناحیه در واقع از مدل دگر ریختی آمیزه افیولیتی جنوب بیرون چند، یعنی قرارگیری در یک پهنه فشاری-برشی با روند تقریباً خاوری-باخته‌ی، با دگر‌شکلی برش ساده در یک پوسته شکننده تبعیت می‌کند. لذا گسل‌های معکوس با مؤلفه امتدادلغز رو رانده و سفره‌های رانده، از نظر آماری فراوانی بیشتری هستند. محدوده هاونان متأثر از سه سری گسل اصلی با روندهای مختلف می‌باشد (شکل ۵). این گسل‌ها عبارت‌اند از: گسل هاونان، گسل یوشت (که دارای امتدادلغز چپ بر با مؤلفه حرکتی معکوس) و گسل مزار (با سازو کار امتداد راست بر با مؤلفه حرکتی معکوس). در اثر تقاطع این سه سری گسل، واحدهای سنگی (اسپیلیت‌ها، پریدوتیت‌ها و گابروها) به صورت بلوك‌های گسلی کشیده درآمده و در اثر ادامه فرآیند برش، این بلوك‌ها متحمل تغییر شکل، جابجایی و چرخش شده‌اند (شکل ۶). لذا قطعات سنگی متفاوت با رفتار مکانیکی مختلف در کنار و یا روی یکدیگر قرار گرفته‌اند (غلامی و خطیب، ۱۳۷۹).

اتصال شکستگی‌های وابسته به پهنه‌های برشی سبب ایجاد بلوك‌های رومبئوئری شده است (شکل ۶). وجود سیستم درزهای متقطع سبب خردشدن گضروف مجموعه‌های سنگی و افزایش دگرسانی گردیده است. این پدیده موجب افزایش حجم، کاهش پایداری و درنهایت لغزش مواد در دامنه‌های پر شبیب شده است. اعمال بارهای دینامیکی و شسته شدن پاشنه مواد نقش مهمی در تداوم لغزش دارد. شاخص‌هایی مانند قوس‌های لغزش، تختگاه‌ها، شکاف در دیوار منازل، تخریب زمین‌های کشاورزی، شکاف‌های کششی و غیره نشانی از چگونگی لغزش مواد دارند (همان). در درون پهنه‌های برشی ایجاد شده دگرسانی پریدوتیت‌ها به سرپانتینیت، بروسیت و تالک همراه با

افزایش حجم و کاهش ضریب پایداری می‌باشد. قرارگیری این مجموعه سنگی بر روی شیب ۳۴ درجه موجب ناپایداری دامنه و لغوش بلوک‌های گوهای شکل در منطقه گردیده است. برخاستگی زمین ساختی رشته‌کوه باقران و اعمال تنش‌های دینامیکی ناشی از رخداد زمین، سبب ناپایداری شده است (خطیب، ۱۳۷۸). نتایج مدل‌سازی و تفسیر داده‌های مقاومت ویژه نشان می‌دهد که توده‌های سست سرپانتینیزه بخش اعظم روباره را تشکیل می‌دهد و سنگ کف که از جنس دیاباز می‌باشد در عمقی حدود ۱۵ متری از سطح زمین قرار دارد. همچنین به احتمال زیاد لغوش از مرز بین توده‌های سست سرپانتینیزه و سنگ کف صورت می‌گیرد (دهواری و همکاران، ۱۳۹۰).



**شکل ۵ نقشه پنهانی شاخص پایداری همراه با وضعیت تکتونیک منطقه**



**شکل ۶** نمایی شماتیک از بلوک گسلی رمبوندی ناشی از عملکرد گسل‌های مزار، هاونان و یوشت (خطیب، ۱۳۷۸)

نتایج نشان می دهد که مدل SINMAP در تلفیق با مطالعات تکمیلی عوامل خارجی مانند تکتونیک می تواند به عنوان مدلی مناسب جهت آنالیز شکست مناطق شبیدار در محدوده مطالعاتی معرفی گردد. این نتیجه گیری توسط مطالعات انجام شده به وسیله مینسینا و اسکارابلی<sup>۱</sup> (۲۰۰۷)، ترهورست و کرحا<sup>۲</sup> (۲۰۰۹)، پائولین و بوریسک<sup>۳</sup> (۲۰۰۹)، پائولین و همکاران<sup>۴</sup> (۲۰۱۰)، طالبی و ایزد دوست (۱۳۹۰) نیز تأیید می گردد.

## ۵. نتیجه گیری

نتایج شبیه سازی با مدل فرآیندی SINMAP و بررسی های صحرایی بیانگر آن است که کمتر از ۳۰ درصد پهنه لغزشی هاونان دارای حساسیت متوسط تا بالا به لغزش هستند. همچنین بخش اندکی از این پهنه لغزشی در محدوده رطوبتی اشباع قرار می گیرد؛ بنابراین عوامل خارجی دیگری علاوه بر توپوگرافی، هیدرولوژی و وضعیت خاکشناسی بایستی در شکل گیری لغزش هاونان مؤثر باشند. در این محدوده عوامل خارجی کترل کننده و تأثیرگذار عبارت اند از: ترکیب سنگ شناسی، فرم دگر ریختی و خصوصاً شکستگی ها، وضعیت ریخت شناسی دامنه شمالی کوه باقران، برخاستگی منطقه و اثر تنש های آنی ناشی از رخدادهای زمین لرزه در منطقه. در این میان ترکیب سنگ شناسی (قرار گیری اسپیلیت بر روی سرپانتینیت) وجود دو سری شکستگی به موازات گسل های هاونان و مزار مهم ترین عوامل ناپایداری اند. علاوه بر این برخاستگی رشته کوه باقران باعث افزایش تدریجی نشیب دامنه و رخداد زمین لرزه ای ادواری نیز موجب تشدید لغزش می گردد.

## سپاسگزاری

بر خود لازم می دانیم از همکاری گروه زمین لغزش دفتر مطالعات و ارزیابی خاک های معاونت آبخیزداری و اداره کل منابع طبیعی خراسان جنوبی تشکر و قدردانی کنیم.

احمدی، حسن؛ محمدخان، شیرین؛ ۱۳۸۱. بررسی برخی از عوامل حرکت های توده ای، مطالعه موردی: حوزه آبخیز طالقان. مجله منابع طبیعی ایران. شماره ۵۵. صص ۴۶۳-۴۵۵.

خطیب، محمد مهدی؛ ۱۳۷۸. بررسی ساختاری زمین لغزش هاونان. بیست و ششمین نشست انجمن زمین شناسی ایران.

غلامی، ابراهیم؛ خطیب، محمد مهدی؛ ۱۳۷۹. بررسی عوامل مؤثر بر وقوع زمین لغزش در جنوب بیرون چهارمین همایش انجمن زمین شناسی ایران.

۱ Meisina and Scarabelli

۲ Terhorst and Kreja

۳ Paulin and Bursik

۴ Paulin et al.

- معماریان، هادی؛ صفردی، علی اکبر؛ ۱۳۸۸. پایداری شیب‌های طبیعی و تحلیل آن در محیط GIS آشنایی با مدل SINMAP. انتشارات سخن‌گستر. ۹۸ صفحه.
- مهندسین مشاور آب پوی؛ ۱۳۸۷. مطالعات تفصیلی اجرایی حوزه آبخیز کوه باقران بیرجند.
- مهندسين مشاور سامان سد رود؛ ۱۳۸۹. بررسی مهم‌ترین زمین‌لغزش‌ها در خراسان جنوبی.
- نجحوانی، فیروز؛ ۱۳۵۶. جزو درسی آبخیزداری. دانشگاه تهران.
- طالبی، علی؛ ایزد دوست، مریم؛ ۱۳۹۰. بررسی کارآبی مدل SINMAP در پهنه‌بندی خطر زمین‌لغزش (مطالعه موردی حوزه آبخیز سد ایلام). مجله علوم و مهندسی آبخیزداری ایران. شماره ۱۵. صص ۶۷-۷۸.
- Ab Pooy Consulting Engineers Co., 2008. Executive watershed management studies of the Bagheran mountains.
- Ahmadi, H., Mohamadkhan, SH., 2002. Investigation of some mass movements in Taleghan basin. *Natural Resources of Iran* 55, 455-463.
- Avanzi, G.D., Giounnecchini, R., Punchnelli, A., 2004. The influence of geological and geomorphological setting on shallow landslides, an example of a temperate climates environment: The June 19, 1996 event in northwestern Tuscany (Italy). *Engineering Geology* 73, 215-228.
- Beven, K.J., Kirkby, M.J., 1979. A Physically Based Variable Contributing AreaModel of Basin Hydrology. *Hydrological Sciences Bulletin* 24(1), 43-69.
- Chau, K.T., Sze, Y.L., Fung, M.K., Wong, W.Y., Fong, E.L., Chan, L.C.P., 2004. Landslide inventory and GIS. *Computer and Geoscience* 30, 429-443.
- Deb, S.K., El-Kadi, A.I., 2009. Susceptibility assessment of shallow landslides on Oahu, Hawaii, under extreme-rainfall events. *Geomorphology* 108, 219–233.
- Dehvari, M., Mohammady, M., Ahmady, M., 2011. Geoelectrical interpretation to identify the subsurface structure of the roof overlooking the village Havenan. Meeting of the Geological Sciences Association.
- Dietrich, W.E., Wilson, C.J., Montgomery, D.R., McKean, J., 1993. Analysis of erosion thresholds, channel networks, and landscape morphology using a digital terrainmodel. *The Journal of Geology* 101, 259-278.
- Domínguez-Cuesta, M.J., Jiménez-Sánchez, M., Berrezueta, E., 2007. Landslides in the Central Coalfield (Cantabrian Mountains, NW Spain): Geomorphological features, conditioning factors and methodological implications in susceptibility assessment. *Geomorphology* 89(3), 358-369.
- Garfi, G., Bruno, D.E., Calcaterra, D., Parise, M. 2007. Fan morphodynamics and slope instability in the Mucone River basin (Sila Massif, southern Italy): significance of weathering and role of land use changes. *Catena* 69(2), 181-196.
- Gholami, E., Khatib, M., 2000. Assessment of the effective factors and elements on the landslide occurrence in the south of Birjand. 4th Meeting of the Geological Sciences Association.
- Hammond, C., Hall, D., Miller, S., Swetik, P., 1992. Level I Stability Analysis(LISA) Documentation for Version 2.0. General Technical Report INT-285, USDAForest Service Intermountain Research Station.

- Hengl, T., 2006. Finding the right pixel size. *Computers & Geosciences* 32(9), 1283-1298.
- Hutchinson, J.N., 1988. Geomorphological and geotechnical parameters of landslide in relation to geology and geomorphology. Proceedings of the 5<sup>th</sup> international symposium of landslide, Lausanne, Switzerland, 13-35.
- Khatib, M., 1999. Structural analysis of the Havenan's landslide. 26<sup>th</sup> Meeting of the Geological Sciences Association.
- Meisina, C., Scarabelli, S., 2007. A comparative analysis of terrain stability models for predicting shallow landslides in colluvial soils. *Geomorphology* 87, 207–223.
- Memarian, H., Balasundram, S.K., Talib, J.B., Sung, C.T.B., Sood, A.M., Abbaspour, K., 2012. Validation of CA-Markov for Simulation of Land Use and Cover Change in the Langat Basin, Malaysia. *Journal of Geographic Information System* 4, 542-554.
- Memarian, H., Safdari, A., 2009. Natural slopes stability and its analysis using ArcView GIS. Sokhangostar, Mashad, Iran, 98p.
- Memarian, H., Tajbakhsh, M., Safdari, A., Akhondi, E., 2003. Statistical landslide risk zonation on the Shourijeh formation in GIS framework. Geomatic Conference, Tehran, Iran.
- Morgan, R.P.C., Quinton, J.N., Smith, R.E., Govers, G., Poesen, J.W.A., Auerswald, K., ... & Folly, A.J.V., 1998. The European soil erosion model (EUROSEM): documentation and user guide.
- Nakhjavani, F., 1977. Handout of Watershed Management. University of Tehran.
- Paulin, G.L., Bursik, M., 2009. Logisnet: A tool for multimethod, multiple soil layers slope stability analysis. *Computers & Geosciences* 35, 1007–1016.
- Paulin, G.L., Bursik, M., Lugo-Hubp, J., Zamorano Orozco, J.J., 2010. Effect of pixel size on cartographic representation of shallow and deep-seated landslide, and its collateral effects on the forecasting of landslides by SINMAP and Multiple Logistic Regression landslide models. *Physics and Chemistry of the Earth* 35, 137–148.
- Peart, M.R., Ng, K.Y., Zhang, D.D., 2005. Landslides and sediment delivery to a drainage system: some observations from Hong Kong. *Journal of Asian Earth Sciences* 25(5), 821-836.
- Saman SadRood Consulting Engineers Co., 2010. Investigation of the most important landslides in the South Khorasan Province, Iran.
- Singh, R.P., Dubey, C.S., Singh, S.K., Shukla, D.P., Mishra, B.K., Tajbakhsh, M., ... & Singh, N., 2012. A new slope mass rating in mountainous terrain, Jammu and Kashmir Himalayas: application of geophysical technique in slope stability studies. *Landslides*, 1-11.
- Soeters, R., van Westen, C.J., 1996. Landslides: Investigation and Mitigation. Chapter 8- Slope Instability Recognition, Analysis, and Zonation. Transportation Research Board Special Report, 247p.
- Taleby, A., Ezaddoost, M., 2012. Investigating the SINMAP model efficiency in landslide hazard zonation (Case study: Ilam dam watershed). *Watershed Management Science & Engineering* 5(15), 63-69.
- Terhorst, B., Kreja, R., 2009. Slope stability modelling with SINMAP in a settlement area of the Swabian Alb. *Landslides* 6(4), 309–319.

Wawer, R., Nowocien, E., 2003. Application of SINMAP terrain stability model to Grodarz stream watershed. Electronic Journal of Polish Agricultural Universities, Environmental Development 6(1).

Zhou, C.H., Lee, C.F., Li, J., Xu, Z.W., 2002. On the spatial relationship between landslides and causative factors on Lantau Island, Hong Kong. Geomorphology 43, 197-207.

